

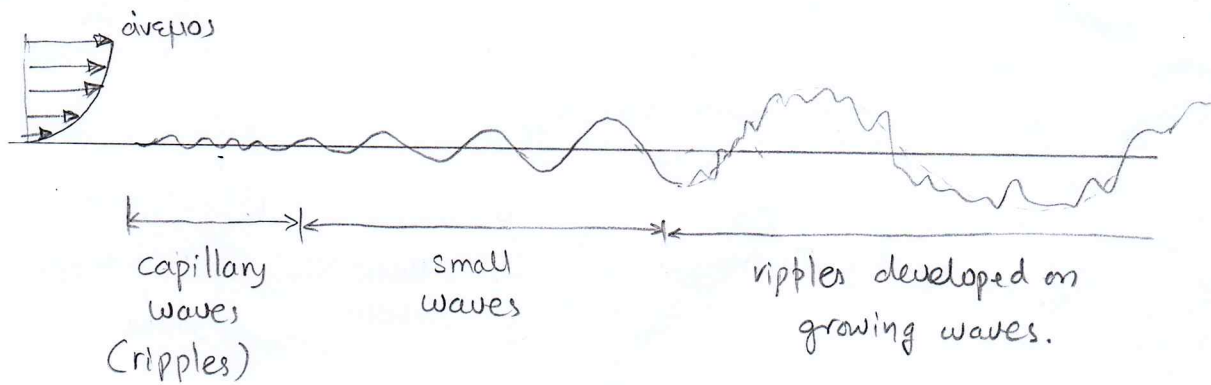
3. ΟΙ ΚΕΑΝΙΟΙ (ΠΡΑΤΜΑΤΙΚΟΙ) ΚΥΜΑΤΙΣΜΟΙ

(Irregular Seas)

Το μεγαλύτερο ποσοστό των διάφορων ακατότοπων ομβρίων σχεδόν αέρια (wind generated waves). Άλλη μυχανισμοί δημιουργίας κυμάτων, δηλας π.χ. υποβαθμίσιοι σειραι, απόστριψη μείωση του βαθείου της θάλασσας, υποβαθμίσια ακατάλληλη την εισόδο ή αποβολή νερού στη θάλασσα, κ.π. έχουν μικρή πραγματική ανταστατική ευρεσης από συγκεκριμένες φυσιολογίες.

Παρόλο που ο μυχανισμός δημιουργίας των ανεμογενών καταβολικών ακατότοπων δεν είναι πλήρως γνωστός η διαδοχή της δημιουργίας έχει ως εξής:

Όταν ο αέρας σε πρεμιθεατική θάλασσα στη σημεία της διεπιφάνειας παρατηρείται αστάθεια (υψηλής συχνότητας). Δηλαδή, όταν της τυρβώδους ποτίσης των αέριων δημιουργούνται μικροί μήκους ακατάλληλα στην επιφάνεια της θάλασσας (capillary waves or ripples). Όσο η ταχύτητα των αέρων αυξάνεται η θάλασσα απορροφάει ενέργεια δημιουργώντας μικρά μηχανισμούς μήκους ή ψόντες (ηλέκτρα). Παράλληλα, ο αέρας δημιουργεί νέα μικρού μήκους ακατάλληλα στην επιφάνεια των ακατάλληλων έτσι ώστε ακατάλληλα πολλοί συχνοτήτες και πλάτον.



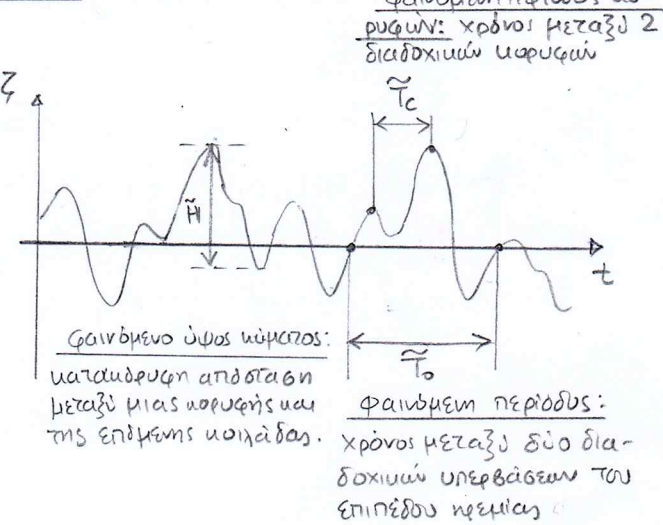
Οι δύο μυχανισμοί απόσβεσης των ακατότοπων είναι η άρση των ακατάλληλων (wave breaking) και η συντηλεστική (viscosity).

Έτσι, όταν ο αέρας βιντεμίζει και ζεστάει ώστε ο ρυθμός απορροφήσης ενέργειας του αέρα την θάλασσα λειτουργίαν των ρυθμών απώλειας ενέργειας και των μυχανισμών απόσβεσης η ακατάλληλη βείονται σε πλήρη ανάπτυξη (fully developed sea).

Αν ο άνεμος σταματήσει, τότε πρώτα μειώνονται τα μηρού μήνους κύματα (short waves) λόγω της μερίδης επιδρούσης των φαινομένων των δραστηριοτήτων των ακτανιών, εντός της περιόδου μήνους κύματος διαδίδονται με μεγάλη χρονική διαστηματική και αποστέννων λόγω της ανεπιστροφής. Η απόστροφη των ακτανιών μπορεί να διαρκέσει κατά μέρη και αναγριθείσει από την επιφάνειαν χαρακτηριστικάν σχεδόν απόκτιμα ανακτητικά μέρη των μήνους σε μεγάλες αποστάσεις από την πηγή δημιουργίας των ποντικίζονταν αποδημάσεων ή φουστανωτασίες (swells) (τε πλειόδους 10 sec έως 30 sec περίοδος).

▷ Οι θαλάσσιοι αυταρικοί ως συνοχαστική διαδικασία

Η ανατυπών περιήγηση της θάλασσας
 είναι πολύ δύσκολη, γιατί οι χρονικές
 λεζόπιες των ανεμοχειρών υπαρχηγών
 που καταγράφονται σε κάθε θέση μπορεί να
 διαφέρουν περισσότερο από το 50%
 μεταξύ των μεταξύ των. Εγκαίνιοι
 υπαρχηγών στη θάλασσα προσεγγί-
 ζούν ως στοχαστική διαδικασία
 (random process) σε συνδυασμό με
 τη δευτερική των αρμόδιων υπαρχηγών



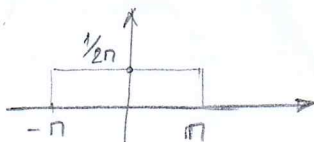
To εινούχα απαρόντος σχήμα της επικεφαλής των θεραπευτών προστέθεν
κυριαρχεί μπορεί να γίνεται ως αρροτρία πλήθης αρνητικής κυριαρχίας
διαφόρων πλευρών, συχνότερων ως μητριαρχία:

$$\zeta(x, t) = \sum_{j=1}^N A_j \cdot \cos(k_j x - \omega_j t + \varepsilon_j)$$

Fia baidi à
uspati eisai:

$$k_j = \frac{\omega_j^2}{g}$$

ομοδημόσια παραγεντήσεις των αποτελεσμάτων της έρευνας στην περιοχή της Ελλάδας του Ι. αφονίου αναπτύχθησαν με-
ταξικά (-π, π).



Ιταλική Μέγενη:

1. Μέγος ώρας ιώματος:

$$\bar{H} = \frac{1}{N} \sum_{j=1}^N H_j$$

2. Τυπική απόδοση του ώρας ιώματος:

$$H_{rms} = \sqrt{\frac{1}{N} \sum_{j=1}^N H_j^2}$$

3. Ινδικτικός ώρας ιώματος:

$$H_{1/3} = \frac{1}{N/3} \cdot \sum_{j=1}^{N/3} \hat{H}_j$$

$$\hat{H}_1 \geq \hat{H}_2 \geq \hat{H}_3 \geq \dots \geq \hat{H}_N$$

Είναι η μέση των τριών της τριάδας οποιασδήποτε των διαφορετικών ώρων ιώματος κατατάξεων μεταξύ των οποιωνήσεων.

4. Μέση περιόδου ιώματος < μηδενικής υπέρβασης (\bar{T}_0)
υπερβασία (\bar{T}_c)

5. Μέγος ψηνού ιώματος < μηδενικής υπέρβασης (\bar{T}_0)
υπερβασία (\bar{T}_c)

Το πέδιο ανύψωσης της επιφάνειας της διάλεξας (κατά τη διάρκεια μιας δεδομένης υπερβασίας διάλεξας) είναι μία σταθιμή ή υποδομή διάδικτης διαδικασίας.

Οι γειτνιαστές της διαδικασίας δεν επηρεάζονται από μία αλληλή μέτρηση της χρονικής περιόδου των διώματος, δηλ. οι αντιτοποιούσες πιθανότητας με αρχή t είναι αναίσχυτα ίσα με τις αντιτοποιούσες με αρχή t+k.

Η στατιστική μέση την πολλές συρρετήσεις διεγέρνει μία χρονική σειρήνα και η χρονική μέση την πολλές συρρετήσεις μετατρέπει την σειρήνα σε μία σταθιμή διάδικτη διαδικασία.

* Ο μέγος δρος και η διαδικασία
δεν μεταβάλλονται με το χρόνο

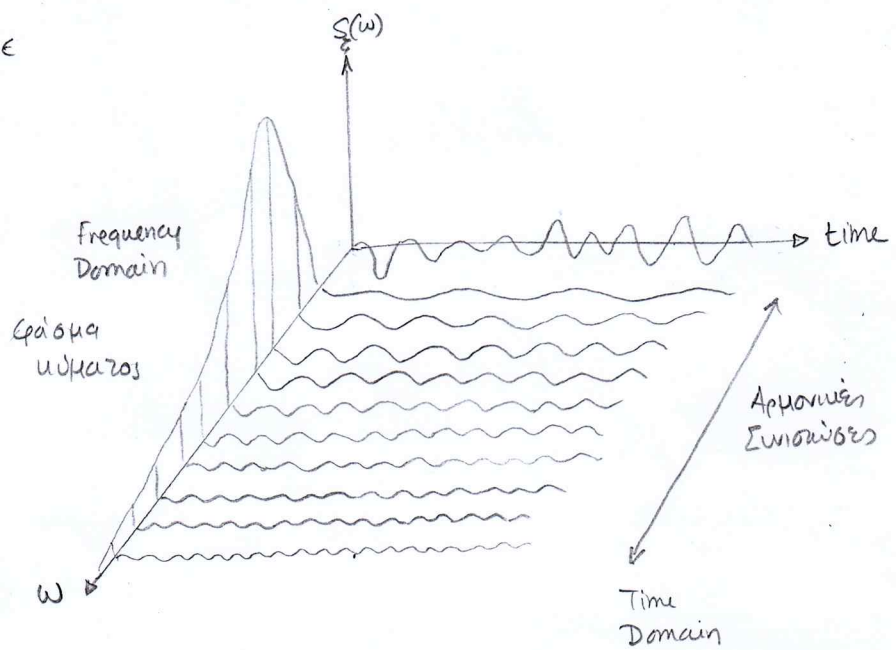
Έτσι, τα πιοτες των αντιτοποιούσεων μπορεί να επεφαρτεί με τη χρήση των μετατομνηματικών φερματών ενέργειας $S_\zeta(\omega)$:

$$\frac{1}{2} A_j^2 = S_\zeta(\omega_j) \cdot \Delta \omega$$

όπου το εργαστήριο της αντιτοποιούσεως $S_\zeta(\omega)$ μεταξύ 2 τηνών (ω_0 και ω_1) δεν βαρύνεται την αντιτοποιούση την περιμέτριση της συντελεστής αυτής.

Προσοχή: Για να αριθμεί το φάσμα μιας διαδόσεως περιοχής πρέπει να αντικαθιστηθεί το υψηλόν - και είναι εφόσον στατιστική διαδικασία. Αυτό συμβαίνει κατά κρίσιμη διαστηματική από 30 min έως 10 hrs. Γι' αυτό να γίνει
ειδικοποίηση αυτή η προσέγγιση ανακαλύπτεται ως short-term statistic.

Το φάσμα των υπαρξιών είναι
μια διαδόση περιοχή μπορεί
και βρεθεί με μετρήσεις.



Η αντίκαση της ενισχύεται, της διάχειας προσεγγίζεται ως μαζανούς Gausse με
μέγιστη όψη μήδιαν και διασπορά $\sigma^2 = \sum_{j=1}^N \frac{1}{2} A_j$. Για $N \rightarrow \infty$ και $\Delta\omega \rightarrow 0$ είναι
 $\sigma^2 = \int_0^\infty S(\omega) d\omega$. (*) Με συνειρμό πάνω στα πιθανότητας: $p(z) = \frac{1}{\sigma\sqrt{2\pi}} e^{-\frac{z^2}{2\sigma^2}}$

Ας είναι γνωστό η συνάρτηση $S(\omega)$ των πλούτουν και υπολογιστούν τα
παραπάνω στατιστικά μετρήση των υπαρξιών:

a) Μέση όψη υπαρξων: $\bar{H} = 2,5 \sqrt{m_0}$

b) Συμμετρική όψη υπαρξων: $H_B = 4 \sqrt{m_0}$

c) Μέση περιόδος μπορεύσιμης υπερβασης : $\bar{T}_0 = 2\pi \sqrt{\frac{m_0}{m_2}}$

d) Μέση περιόδος υπαρξων: $\bar{T}_C = 2n \sqrt{\frac{m_2}{m_4}}$

όπου $m_k = \int_0^\infty \omega^k S(\omega) d\omega$

οι φασκαρμές ποντίς

Μέση περιόδος Εργασίας

$$T_{HO} = \frac{1}{2n} \cdot \frac{m_1 - 1}{m_0}$$

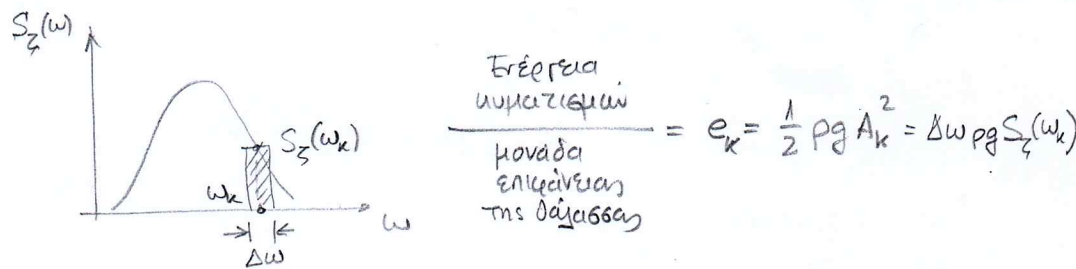
$$\left(\begin{array}{l} m_0 = \int_0^\infty S(\omega) d\omega = \sigma^2 \\ m_2 = \int_0^\infty \omega^2 S(\omega) d\omega \\ m_4 = \int_0^\infty \omega^4 S(\omega) d\omega \end{array} \right).$$

Λόγω της εργασίας της γεωχαρτικής διαδικασίας της ενίσχυσης της διάβρωσης $\zeta(A)$, το πλάτος των υμαρισμάτων προσεγγίζεται με μεγάλη ακρίβεια ως τυχαία μεταβλητή που ανοιχθεί την υπαρχή Rayleigh με ανάπτυξη της πυκνότητας συθέσεων:

$$P(A) = \frac{A}{m_0} e^{-\frac{A^2}{2m_0}}$$

Συμπερασματικά: Οι γενικοί όριδές των υμαρισμάτων μπορούν να παρασχούν:

- (a) Στο πεδίο των συχνοτήτων με μία ανάπτυξη φασμάτων πυκνότητας που αντιστοιχεί στην υπαρχή της ενέργειας των υμαρισμάτων ανάμεσα στη διάφορη συχνότητα (η μήκος ωματού)
- (β) Στο πεδίο των χρόνων με μία επαγγελματική (θεωρητική) πολλών μηχανοσυνέδεσμών υμάτων $A_i \cos(\omega_i t + \phi_i)$, τα οποία των αντιστοιχούν είναι ενέργεια με την τετραγωνική πίεση της τετραγωνικής της φάσης των υμαρισμάτων στην συμμετρική συχνότητα



Karakteristikai Rayleigh

ορίζεται θεωρώντας τα στατιστικά μετρήσεις υμαρισμάτων σταθερά (short terms statistics)

- Προτεραιότερα από 3 υμαρισμάτων παραμέτρους:
- Το οπαντικό ύψος ωματού H_1
 - Την ήχον περιόδο μηδενώνισης T_0
 - Την αύρια κατεύθυνση ωματού θ_0

Σε μια υαλόσασμα θάλασσας το φέρμα $S(\omega, \theta)$ των υμαρισμάτων πεδίων παρατίθεται (διχρόνως) ανεπίσημο.

▷ Ενεργειακά Φάσματα Μονοχρονίους Θυελλών κυριαρχιών

a) Pierson-Moskowitz Spectrum

Περιγράφει πήδης ανεπτυγμένες δομές σε σταθερή ταχύτητα των θυελλών του Βόρειου-Ατλαντικού μαζευτικού που δημιουργούνται από τον ισχυρό ανέμο. Είναι:

$$S_{PM}(\omega) = \frac{8,1}{10^3} \cdot \frac{g^2}{\omega^5} \cdot e^{-\frac{5}{4} \left(\frac{\omega_p}{\omega} \right)^4} = \frac{8,1}{10^3} \cdot \frac{g^2}{\omega^5} \cdot e^{-0,0324 \left(\frac{g}{H_{1/3} \cdot \omega^2} \right)^2}$$

ω_p : ευχρηστική ωματίδη

Επερχόμενη: a. μέσων των οντηνικών υψους μηκών :

$$\omega_p = 0,4013 \sqrt{\frac{g}{H_{1/3}}}$$

b. μέσω της ταχύτητας του ανέμου μετρηθέντων 19,5 m από την επιφάνεια της θαλάσσης:

$$\omega_p = 0,8772 \frac{g}{V_w}$$

To μονοχρονικό φάσμα P-R λοξεύει με τις αναλογικές παραδόξες:

- μονοχρονικοί μηματισμοί
- περιοχή: Βόρειο ατλαντικός μυαλός (North-Atlantic Ocean)
- πήδης ανεπτυγμένη δομές με μεγάλη χρήση περιόδων των κυριαρχιών (fetch)
- βαριά νερά
- χωρίς αναδιπλούσες

b) Bretschneider Spectrum

Με την εισαγωγή των οντηνικών υψους μηκών ($H_{1/3}$) στον ώντο, το διπλαρμετρικό φάσμα Bretschneider παρέχει τις περιορισμένες τις περιορισμένες δομές. Είναι:

$$S_{BS}(\omega) = \frac{5}{16} \cdot \frac{\omega_p^4 \cdot H_{1/3}^2}{\omega^5} \cdot e^{-\frac{5}{4} \cdot \left(\frac{\omega_p}{\omega} \right)^4}$$

(λοξεύει με ανεπτυγμένες αποσβετικές δομές σε αποδιπλασίες).

$$\text{όπου } \omega_p = 0,4013 \sqrt{\frac{g}{H_{1/3}}} \quad (\text{μονοχρονικές δομές})$$

$$H_{1/3} = 4 \sqrt{m_0}$$

8) Ochi-Hubble Spectrum

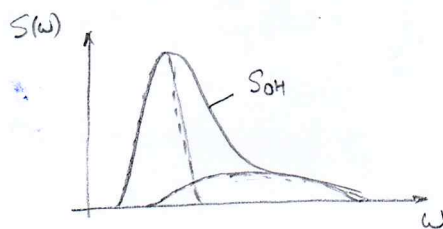
Είναι Ζ-παραμετρικός σεισμικός εισόδος ως γειτνιά παραμέτρου το "ηλίος" (steepness) των καταρράκτων στην περιοχή της συνθήτικης υδραύλισης. Είναι:

$$S_{OH}(\omega) = \frac{1}{4} \cdot \frac{\left(\frac{4\lambda+1}{4} \cdot \omega_p^4\right)^2}{\Gamma(\lambda)} \cdot \frac{\bar{H}_B^2}{\omega^{4\lambda+1}} e^{-\frac{4\lambda+1}{4} \cdot \left(\frac{\omega_p}{\omega}\right)^4}$$

όπου λ : η αδύστητη παραμέτρος που εξηγεί το "ηλίος" των καταρράκτων.

Για $\lambda=1$ η παραμίκην εξηγείται ότι το παραμήκην Bretschneider.

Η εισόδος της παραμέτρου λ επηρείει την εισόδο στο μοντέλο της επιδράσεως αναταράξης and αναπλαγών (swells). Έτσι, παραπομπή της αδύστητης 2 γαστάρων Ochi-Hubble, ήταν για τους αναταράξης της δημιουργίανται and την ανάσταση στην περιοχή και για την αναπλαγής άλλων αναταράξην παραγόντων δημιουργούμε τη γειτνιά 2 υδραύλιση (two-peaked-spectra)



$$S(\omega) = S_1(\omega) + S_2(\omega)$$

| |
storm swell

9) JONSWAP Spectrum

Το ονόμα του είναι για αρχικά της οργάνωσης: Joint North Sea Wave Project και αποτελεί είναι εμπειρικό τύπο για την περιοχή της Βόρειας θάλασσας στην οποία ανατίθενται ταυτικά (fetch) είναι περιορισμένο και η διάσταση δεν αφορά βαθύ.

$$S_{JONSWAP}(\omega) = \frac{a g^2}{\omega^5} e^{-\frac{5}{4} \left(\frac{\omega_m}{\omega}\right)^4 \gamma^\delta}$$

$$\text{όπου } \delta = -\frac{(\omega - \omega_m)^2}{2 \sigma^2 \omega_m^2}$$

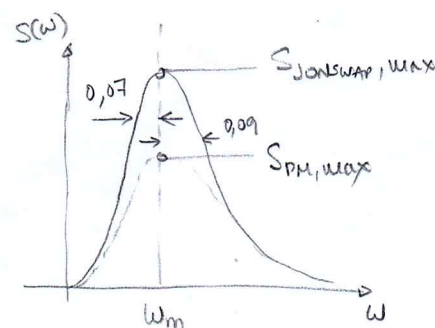
$$a = 0,076 \left(\frac{g_x}{U_w^2}\right)^{-0,22}$$

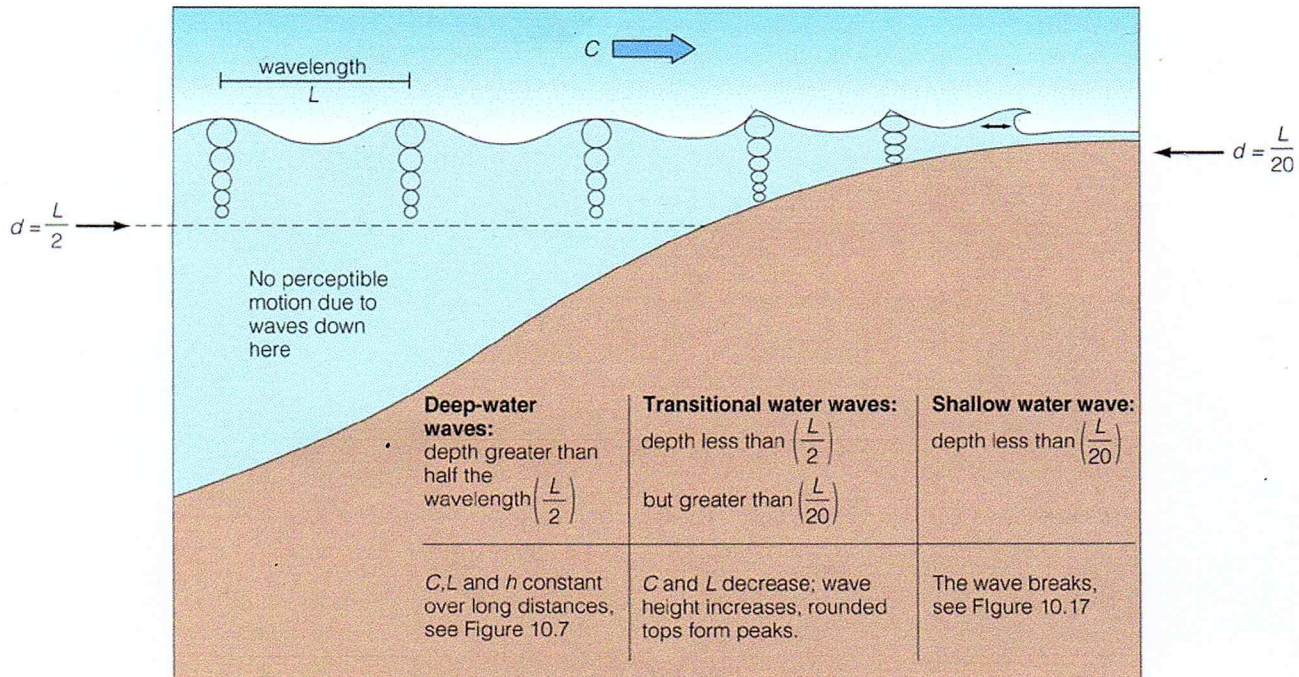
x : fetch [n miles]

$$\omega_m = 2\pi \cdot 3,5 \cdot \frac{g}{U} \cdot \left(\frac{g_x}{U_w^2}\right)^{-0,33}$$

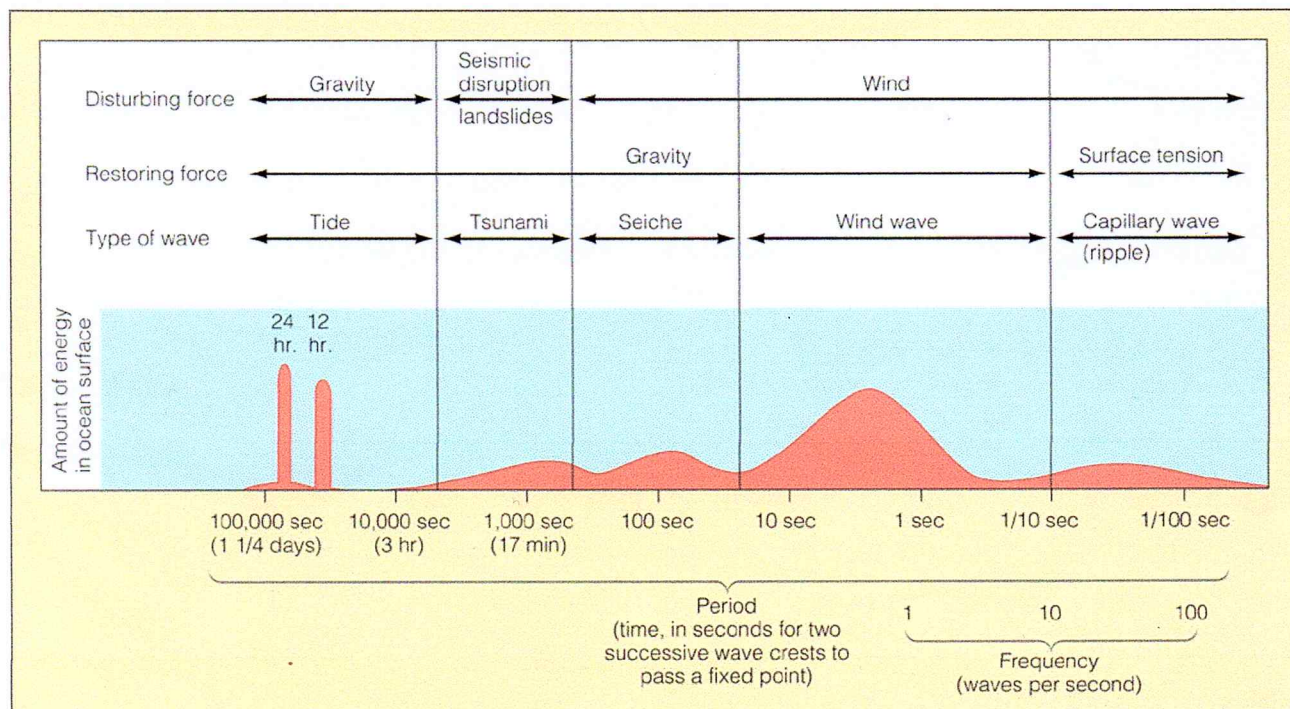
$$\gamma = \frac{S_{JONSWAP} \text{ max}}{S_{PM} \text{ max}}$$

$$\gamma = \begin{cases} 0,07 & \omega \leq \omega_m \\ 0,09 & \omega > \omega_m \end{cases}$$

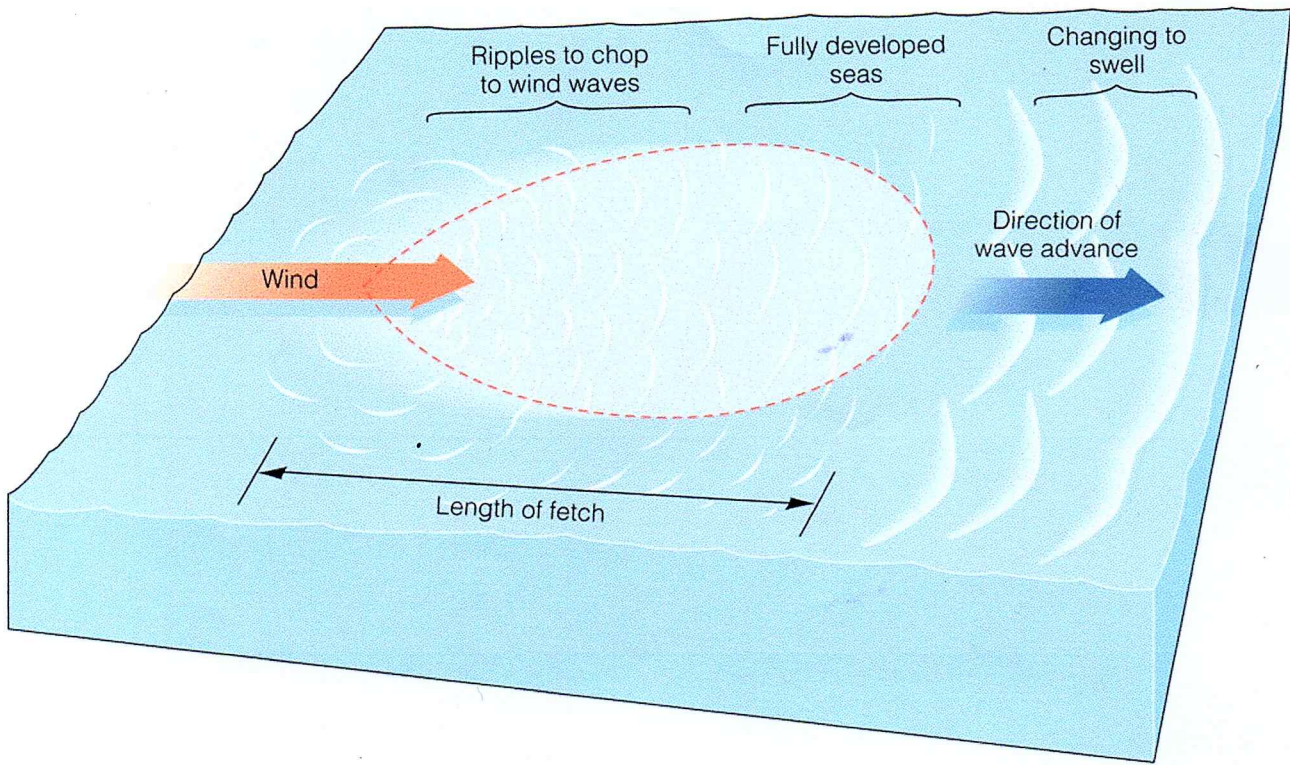




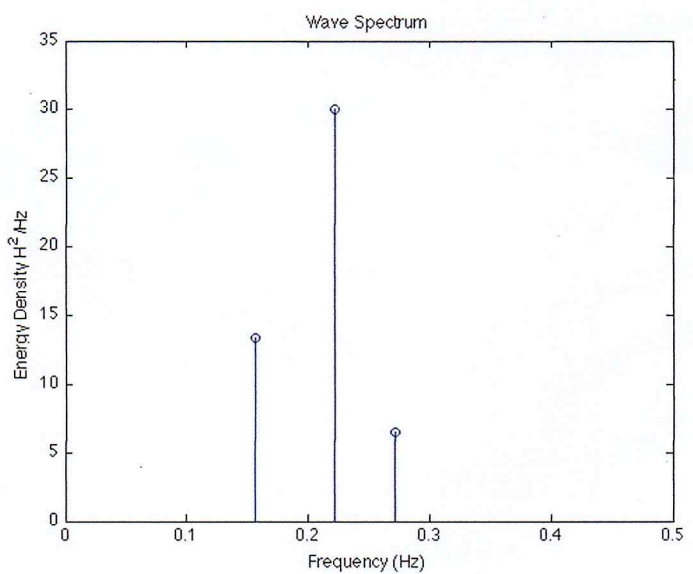
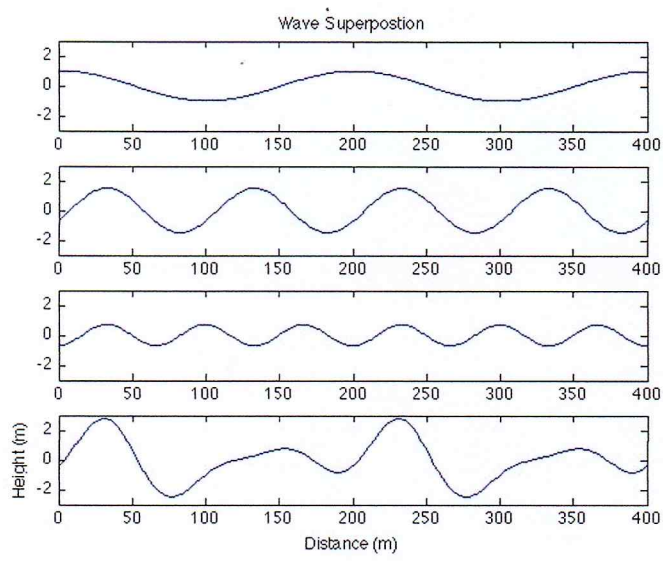
© 2005 Brooks/Cole - Thomson

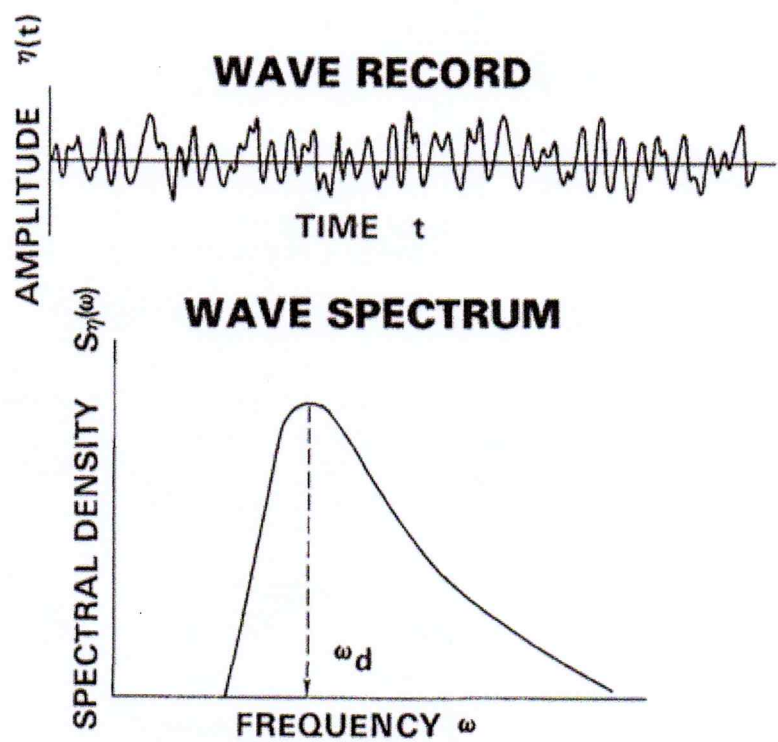
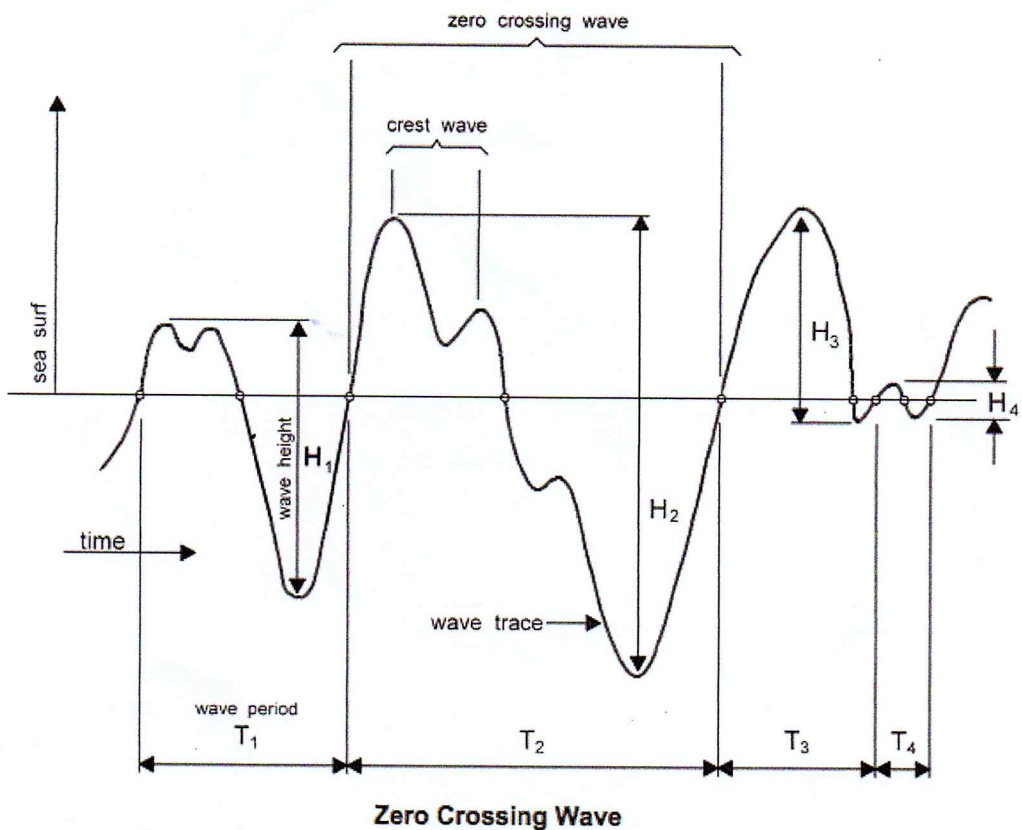


© 2005 Brooks/Cole - Thomson



© 2005 Brooks/Cole - Thomson



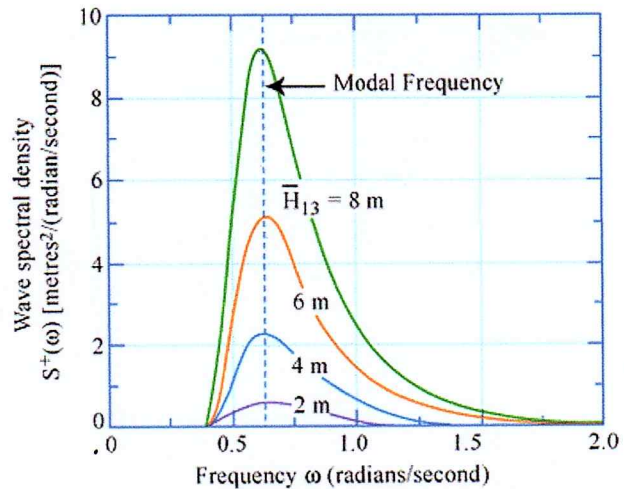


DERIVED PROPERTIES

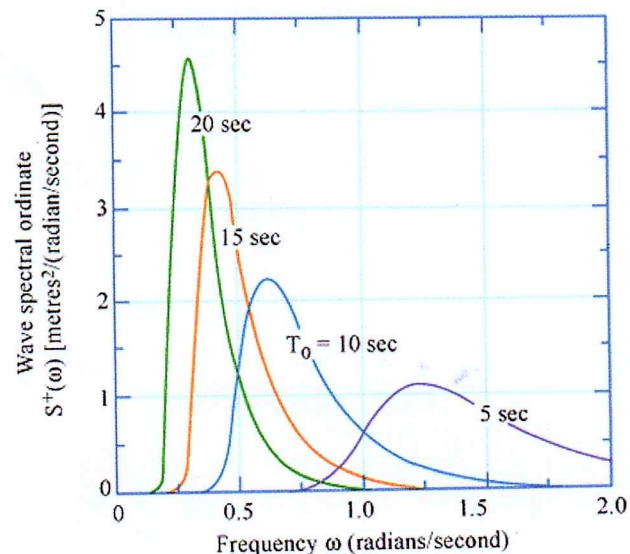
$m_K = \int_0^{\infty} \omega^K S_{\eta}(\omega) d\omega$, THE Kth SPECTRAL MOMENT

$T_d = 2\pi/\omega_d$, THE DOMINANT SPECTRAL PERIOD

$\sigma^2 = m_0$, THE VARIANCE OF WAVE RECORD $\eta(t)$

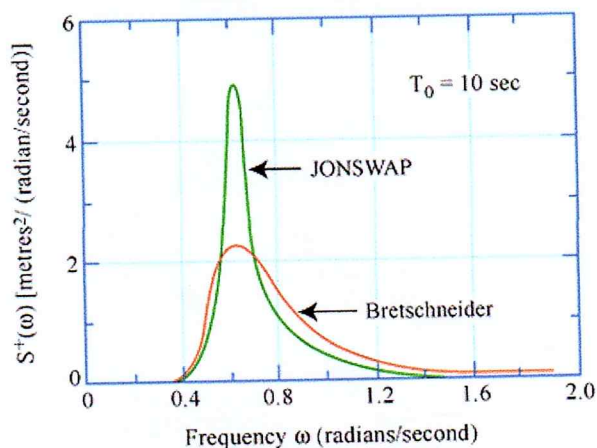


Bretschneider wave energy spectra; modal period $T_0 = 10$ seconds.



Bretschneider wave energy spectra; characteristic wave height 4 metres.

The JONSWAP spectrum is thus a distortion of the Bretschneider spectrum specified in terms of the characteristic wave height & the model period.



JONSWAP & Bretschneider spectra; significant wave height 4 metres.